

## 超臨界 Xe で観測された溶質-溶媒間の強い引力エネルギー ～4種の超臨界流体のラマン分光による考察～

(広島大自然セ<sup>1</sup>, 広島大院理<sup>2</sup>) ○加治屋 大介<sup>1</sup>, 斎藤 健一<sup>1,2</sup>

**【序】**我々は、超臨界流体中における引力・斥力相互作用を、振動ラマン分光で研究している[1-5]。近年、幾何異性体である cis 体と trans 体のラマンスペクトル測定とその理論的解析より、超臨界 CO<sub>2</sub> 中における両異性体の溶媒和構造の違いを三次元の立体構造で表すことに成功した[3]。また、異性体の置換基効果として、CO<sub>2</sub> 分子がフェニル基周囲に選択的に溶媒和することを明らかにした[4]。

本研究では、超臨界 Xe, CO<sub>2</sub>, CHF<sub>3</sub>, SF<sub>6</sub> を溶媒とし、trans-C<sub>2</sub>H<sub>2</sub>Cl<sub>2</sub> (図 1) を溶質とし、その C=C 伸縮振動のラマンスペクトル測定を行った。それぞれの流体中において振動数の密度依存性を解析し、溶質-溶媒間の斥力・引力エネルギーを算出し、溶媒和構造を考察した。その結果、超臨界 CO<sub>2</sub>, CHF<sub>3</sub>, SF<sub>6</sub> 中では溶媒の極性の違いにも関わらず、ほぼ等しい溶質-溶媒間引力エネルギーが示された。また、Xe では他の流体より 1.5 倍強い引力エネルギーが見い出された[5]。

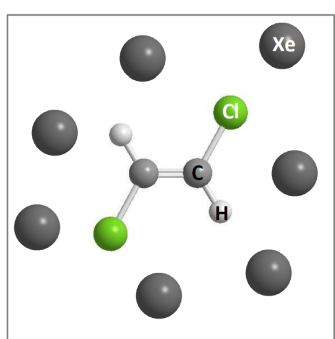


図 1. 超臨界 Xe 中における trans-C<sub>2</sub>H<sub>2</sub>Cl<sub>2</sub> (模式図)

**【実験】** ラマンスペクトル測定は、光源に DPSS レーザー ( $\lambda = 532$  nm), 検出系にシングル型大型分光器・光電子増倍管・フォトンカウンターで構成された自作装置[1]を用いた。溶液の濃度は、全流体で trans-C<sub>2</sub>H<sub>2</sub>Cl<sub>2</sub> のモル分率  $4 \times 10^{-3}$  に揃えた。温度は、換算温度  $T_r = T/T_c = 1.02$  の等温条件である。超臨界流体の密度は、0.2~10.2 個/nm<sup>3</sup> の範囲で制御した。

**【結果・考察】** 図 2 は超臨界 Xe 中で測定した trans-C<sub>2</sub>H<sub>2</sub>Cl<sub>2</sub> の C=C 伸縮振動のラマンスペクトルである。スペクトル形状は全密度で单一ガウス関数型であった。ピーク位置は密度增加とともに低波数側にシフトした。このピーク位置の密度依存性を perturbed hard-sphere 理論[6]で解析し、溶質-溶媒間の引力・斥力相互作用による引力・斥力シフト量に分離し、それぞれの密度依存性を各流体で算出した。

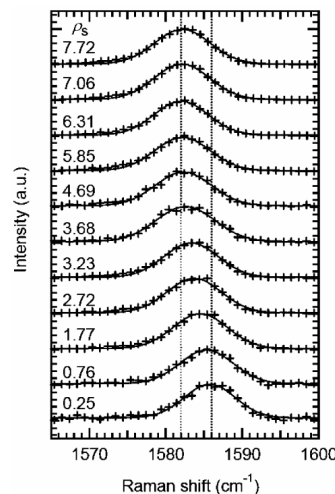


図 2. 超臨界 Xe 中における trans-C<sub>2</sub>H<sub>2</sub>Cl<sub>2</sub> の C=C 伸縮振動のラマンスペクトル.  $\rho_s$ : 溶媒の数密度.

図3は、実験より得られた4種の流体中における引力シフト量である。引力シフト量は、全流体中で密度増加とともに増えている。この値を流体間で比較すると、超臨界CO<sub>2</sub>, CHF<sub>3</sub>, SF<sub>6</sub>中では、ほぼ等しい。一方、超臨界Xe中では約1.5倍大きい。CHF<sub>3</sub>は双極子モーメントを持ち、CO<sub>2</sub>は四極子モーメントを持つ。しかし、極性流体よりも、無極性のXe流体で強い引力エネルギーを示すことが明らかとなった[5]。

超臨界Xe中における強い引力エネルギーを考察するため、計算からも引力シフトを算出した。図4は、SF<sub>6</sub>とXeの引力シフト量の密度依存性である。点線は計算値、●印は実験値である。SF<sub>6</sub>では計算値と実験値が一致している。また、SF<sub>6</sub>はXe同様に双極子も四極子も持たない。従って、超臨界SF<sub>6</sub>中の引力エネルギーは分散力で説明できる。一方、Xeは実験値が計算値より大きい。すなわち分散力では説明できない強い引力エネルギーが働いている。

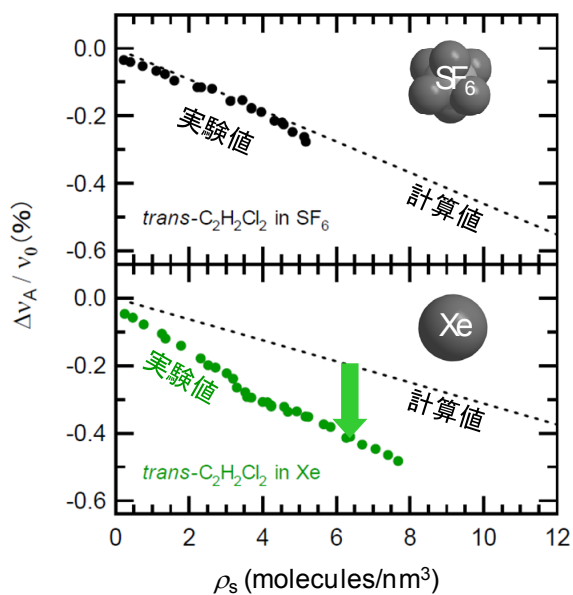


図4. 超臨界Xe中ならびにSF<sub>6</sub>中におけるtrans-C<sub>2</sub>H<sub>2</sub>Cl<sub>2</sub>のC=C伸縮振動の引力シフト量。点線:計算値. ●:実験値.

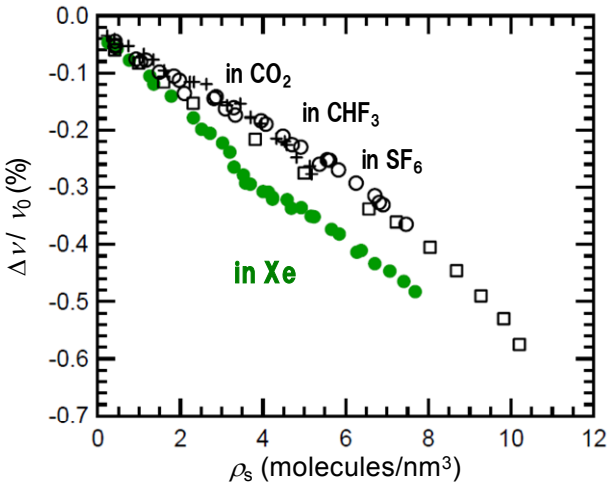


図3. 4種の超臨界流体中におけるtrans-C<sub>2</sub>H<sub>2</sub>Cl<sub>2</sub>の引力シフト量

この強い引力エネルギーのドライビングフォースとして、溶質一溶媒間の電荷移動を検討した。すなわち、C=C結合を有するビニリデン分子などの赤外吸収分光において、Xeの5p軌道からビニリデンの空軌道のp軌道への電荷移動が報告されている[7]。同じような現象がこの系でも進行し、大きなシフトを与えていると考察した。

## References :

- [1] K. Saitow et al., *Chem. Phys. Lett.* **368**, 209 (2003).; *J. Phys. Chem. A* **108**, 5770 (2004).; *J. Chem. Phys.* **122**, 104502 (2005); *Jpn. J. Appl. Phys.* **45**, 2801 (2006).
- [2] D. Kajiya, Y. Mouri, K. Saitow, *J. Phys. Chem. B* **112**, 7980 (2008).
- [3] D. Kajiya, K. Saitow, *J. Phys. Chem. B* **113**, 13291 (2009).
- [4] D. Kajiya, K. Saitow, submitted.; 第2回分子科学討論会2008福岡, 1C19.
- [5] D. Kajiya, K. Saitow, *J. Phys. Chem. B* **114**, 8659 (2010).
- [6] M. R. Zakin and D. R. Herschbach, *J. Chem. Phys.* **85**, 2376 (1986).
- [7] C. Kotting, W. Sander, J. Breidung, W. Thiel, M. Senzlober, H. Burger, *J. Am. Chem. Soc.* **120**, 219 (1998).